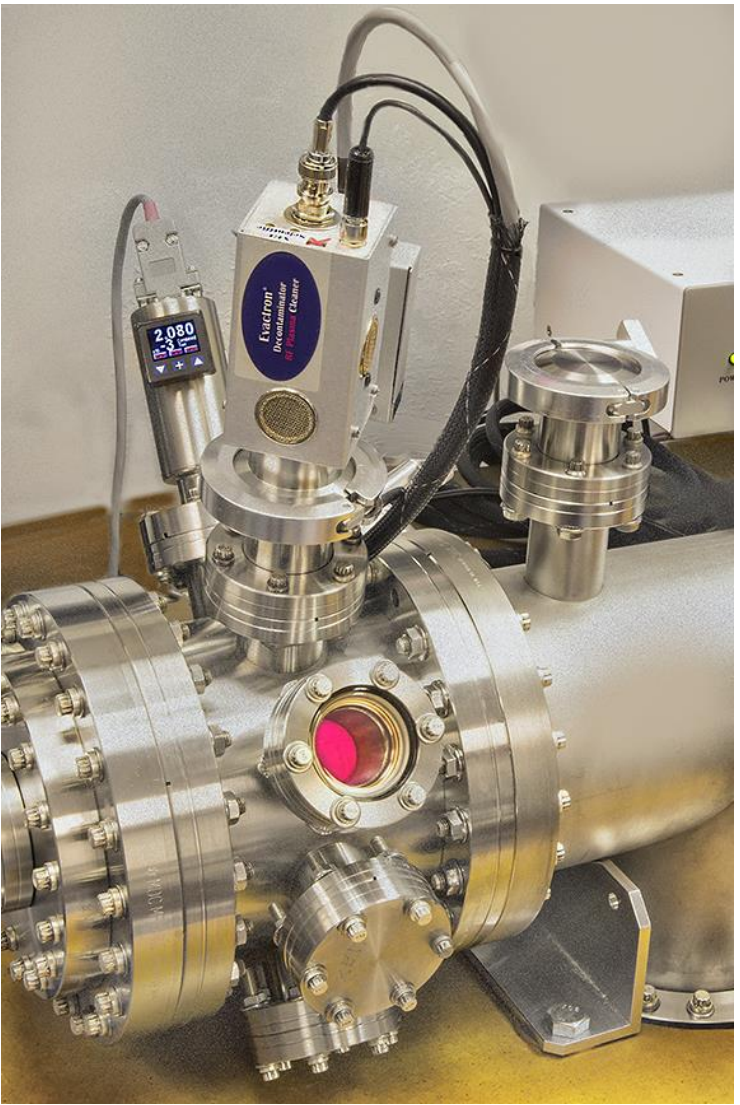


Analýza zdroje plazmatu

Dušan Nešpor, R&D Physics – S9000 platform leader

Motivace

Dekontaminátor



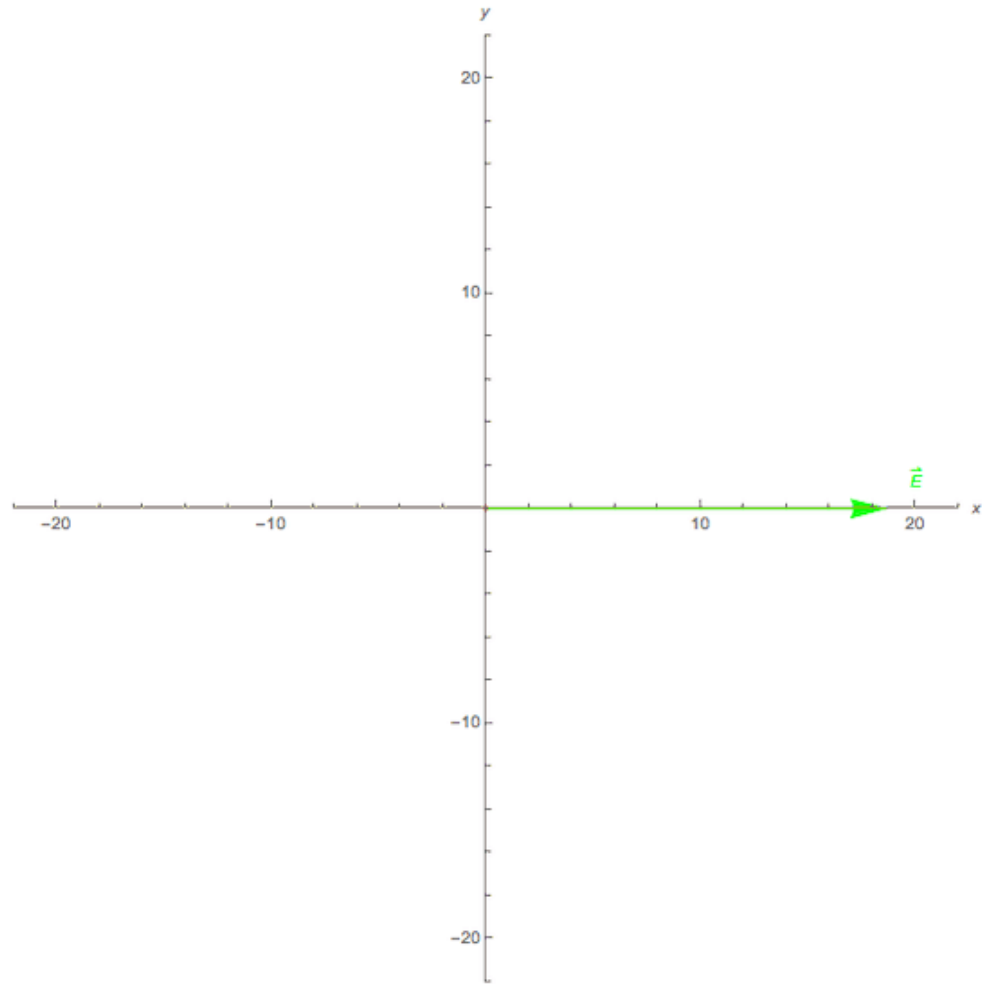
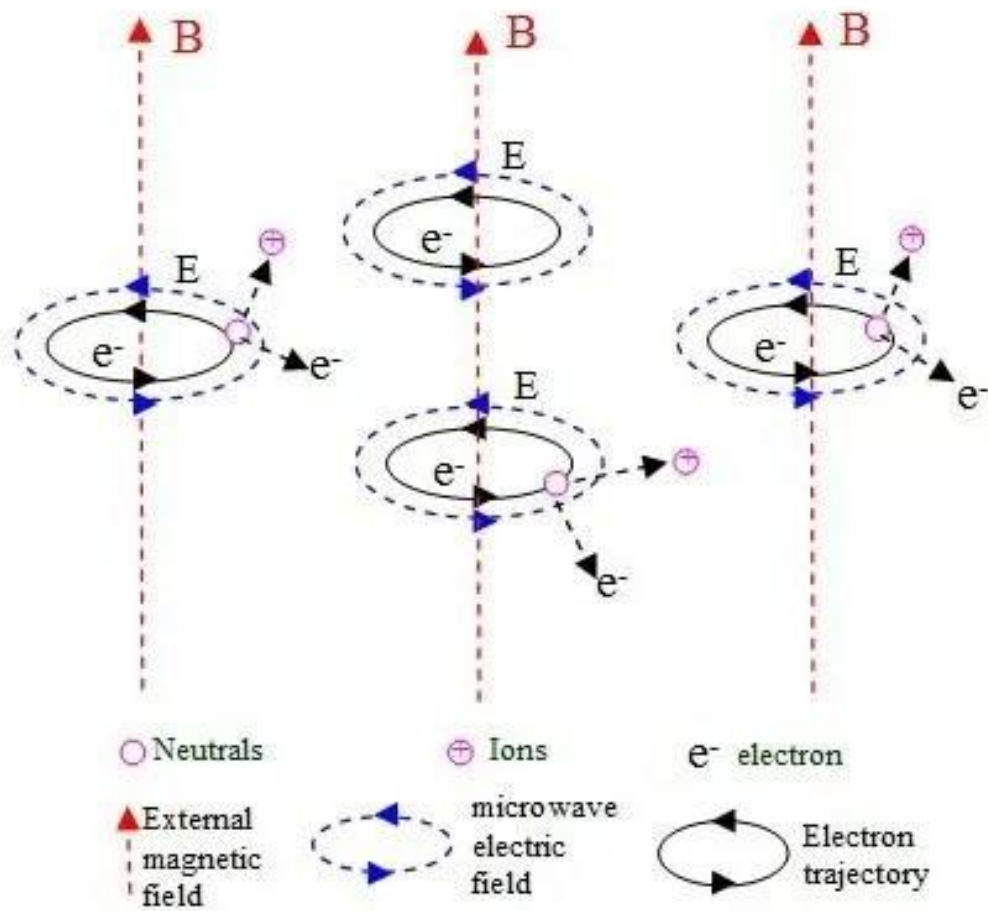
FIB



Elektronová Cyklotronová Rezonance - ECR

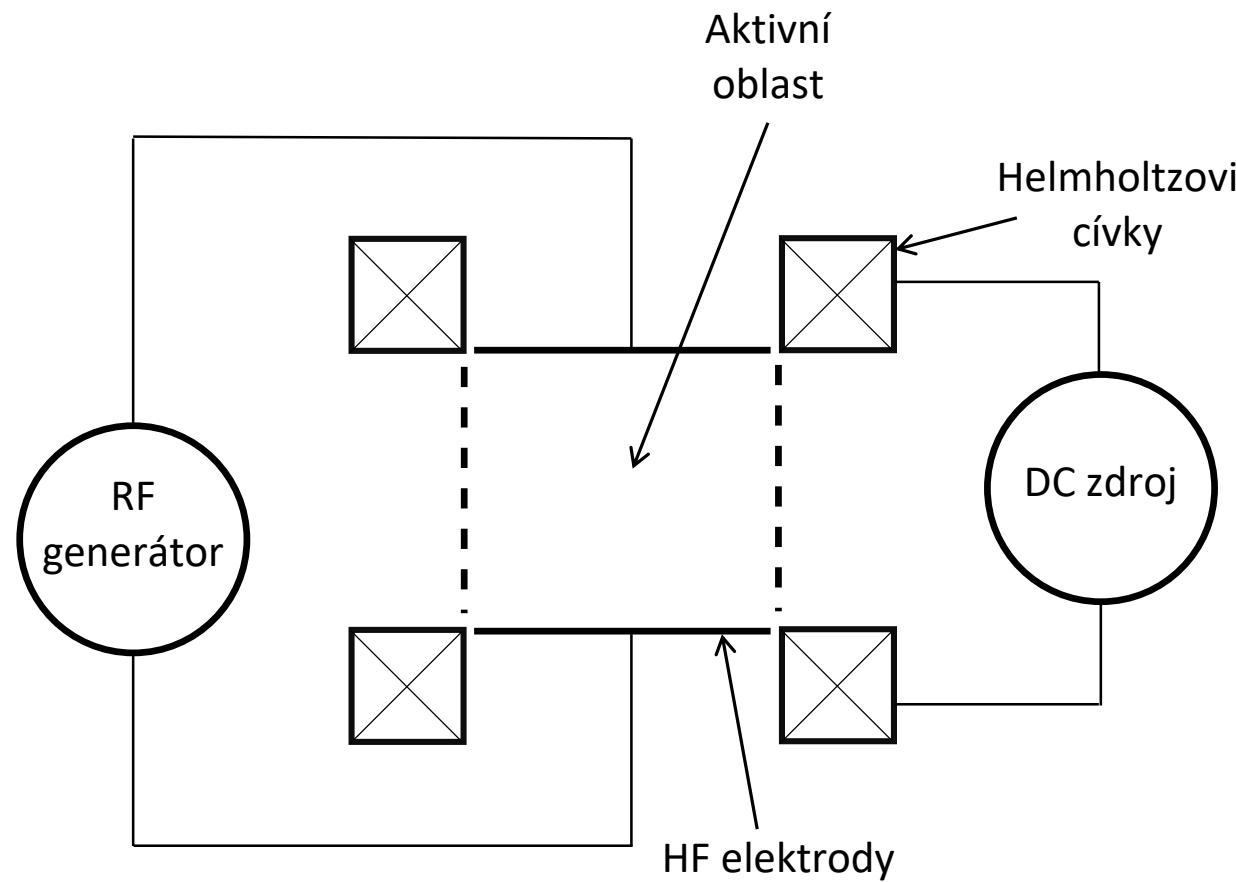
Princip ECR

$$f = \frac{eB}{2\pi m_e}$$



Sestavení modelu

Schéma modelu ECR

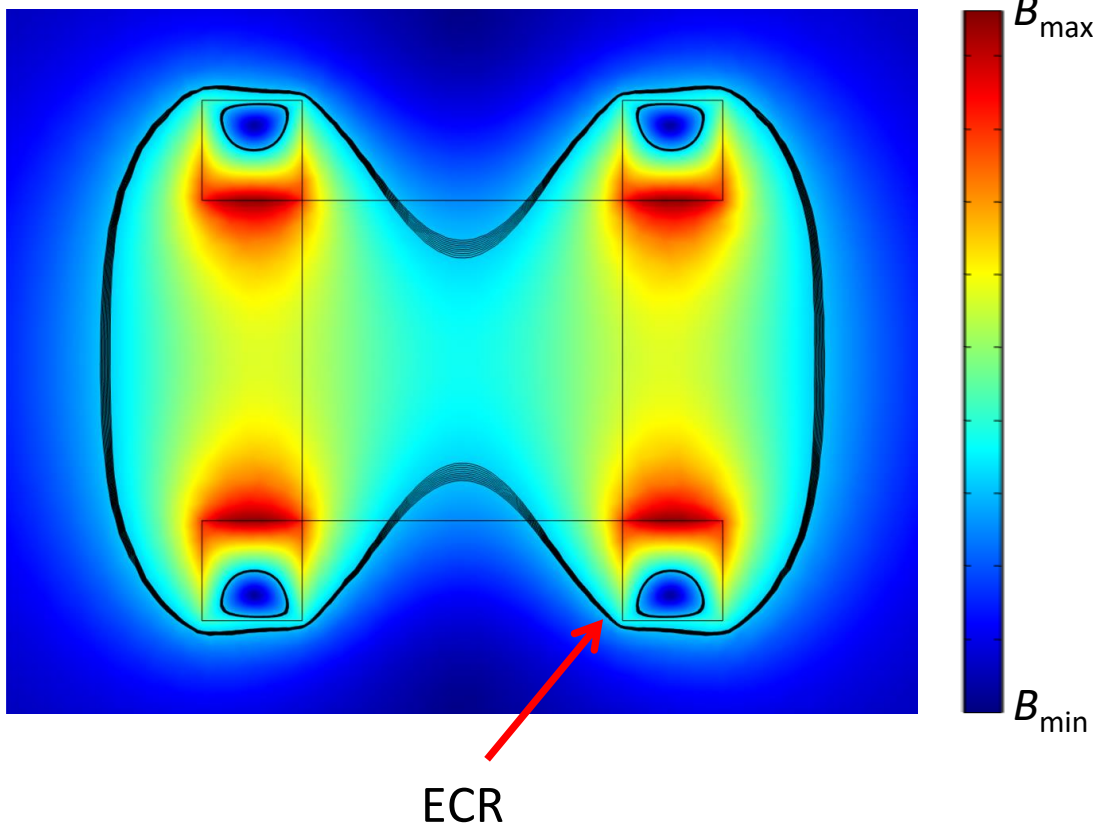


Statické magnetické pole

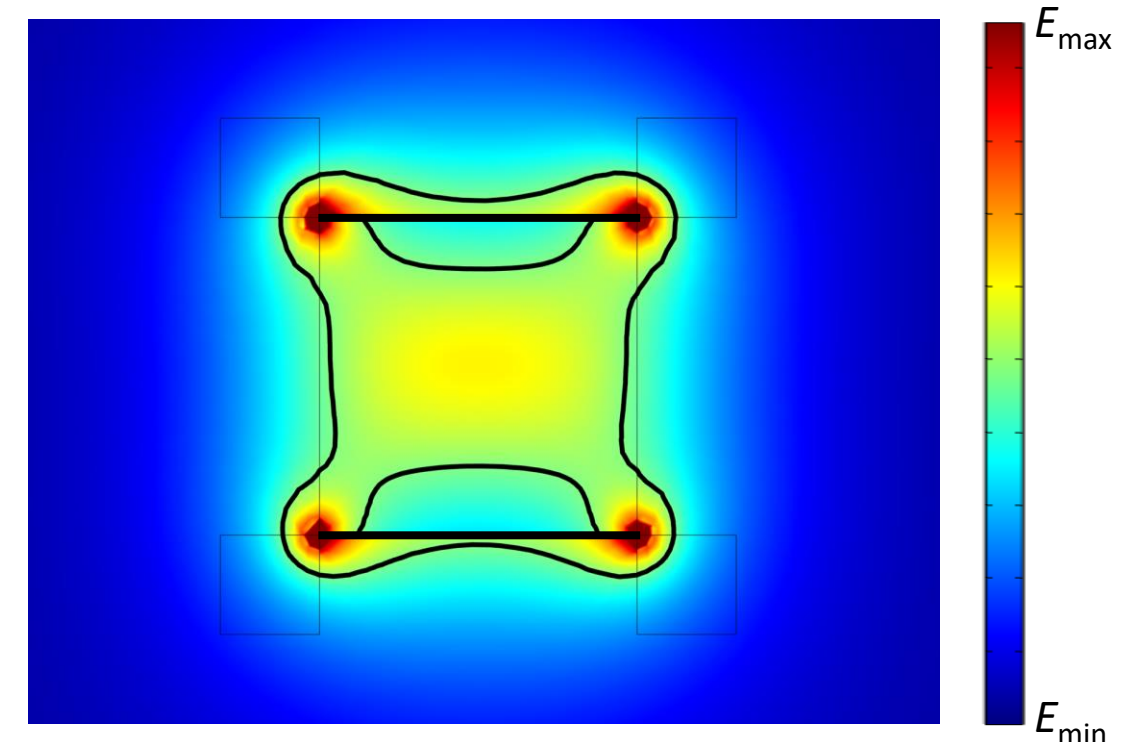
Vysokofrekvenční elektromagnetické pole

Impedanční přizpůsobení

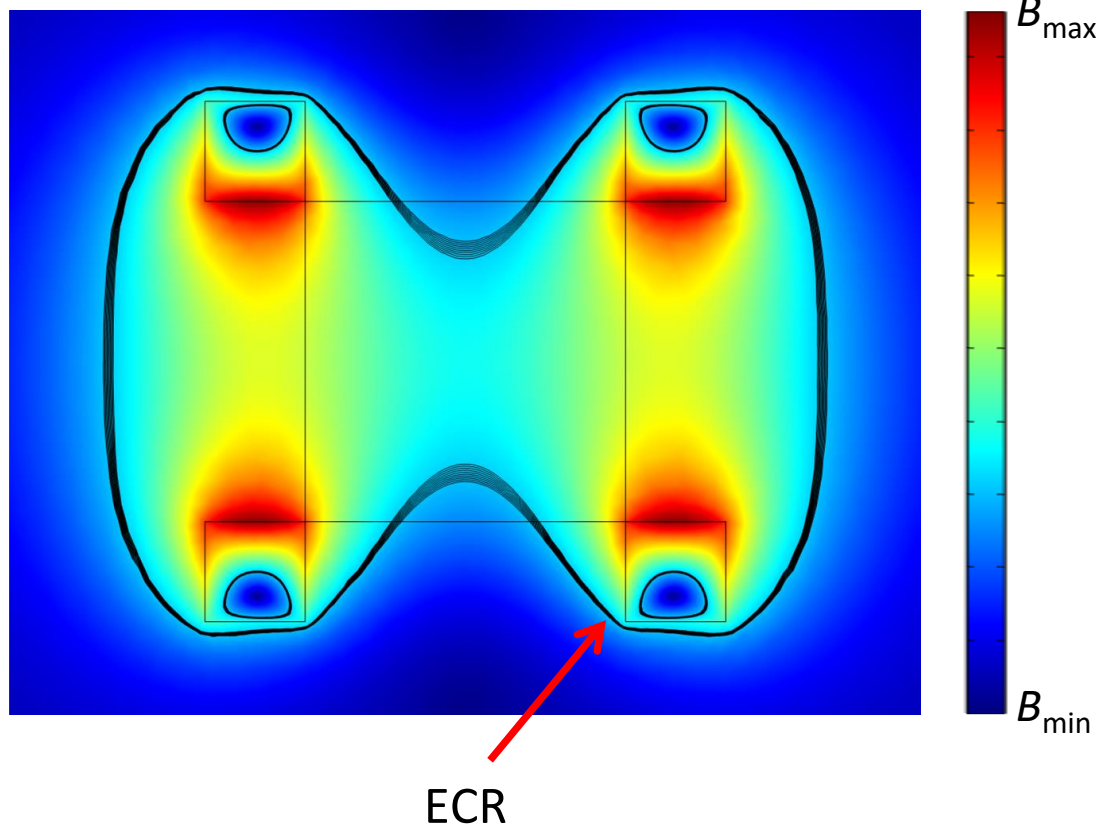
Rozložení magnetické indukce



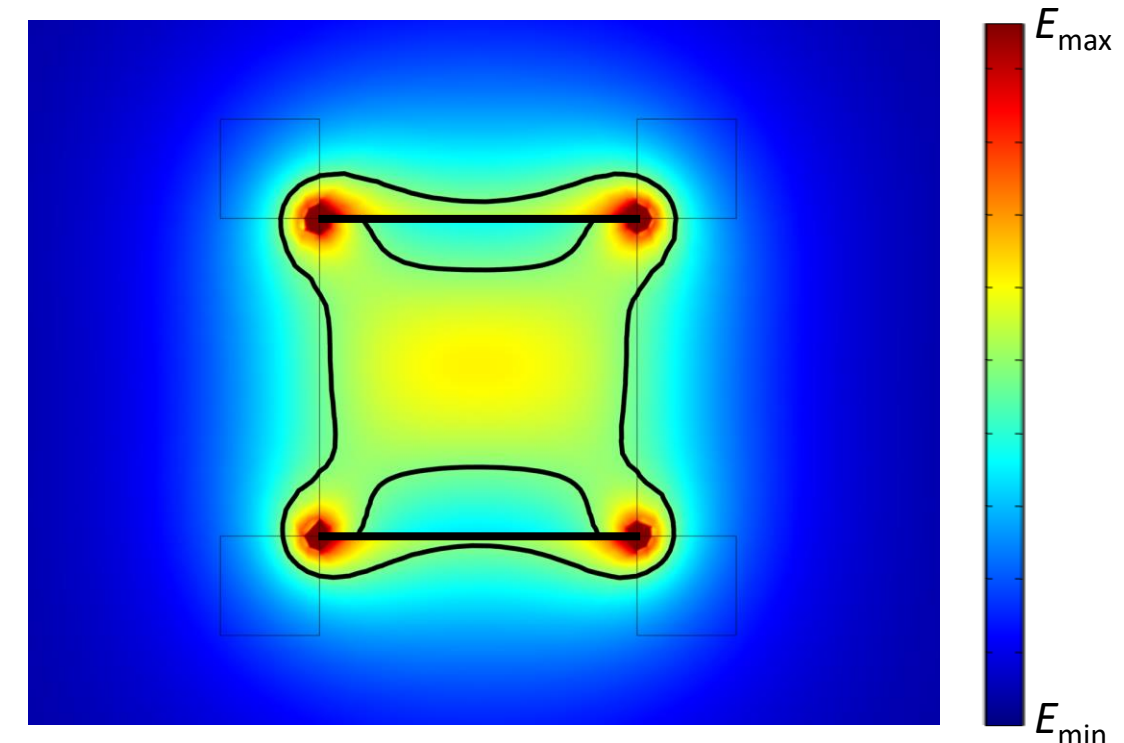
Rozložení intenzity elektrického pole



Rozložení magnetické indukce

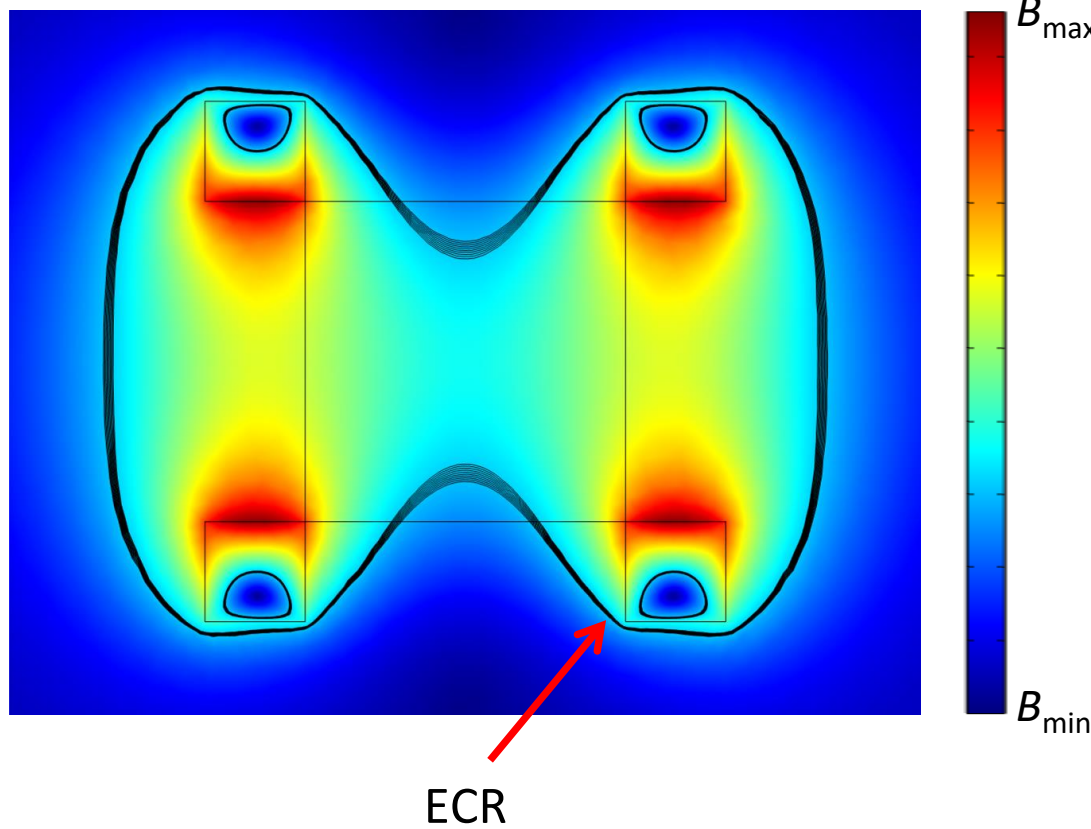


Rozložení intenzity elektrického pole

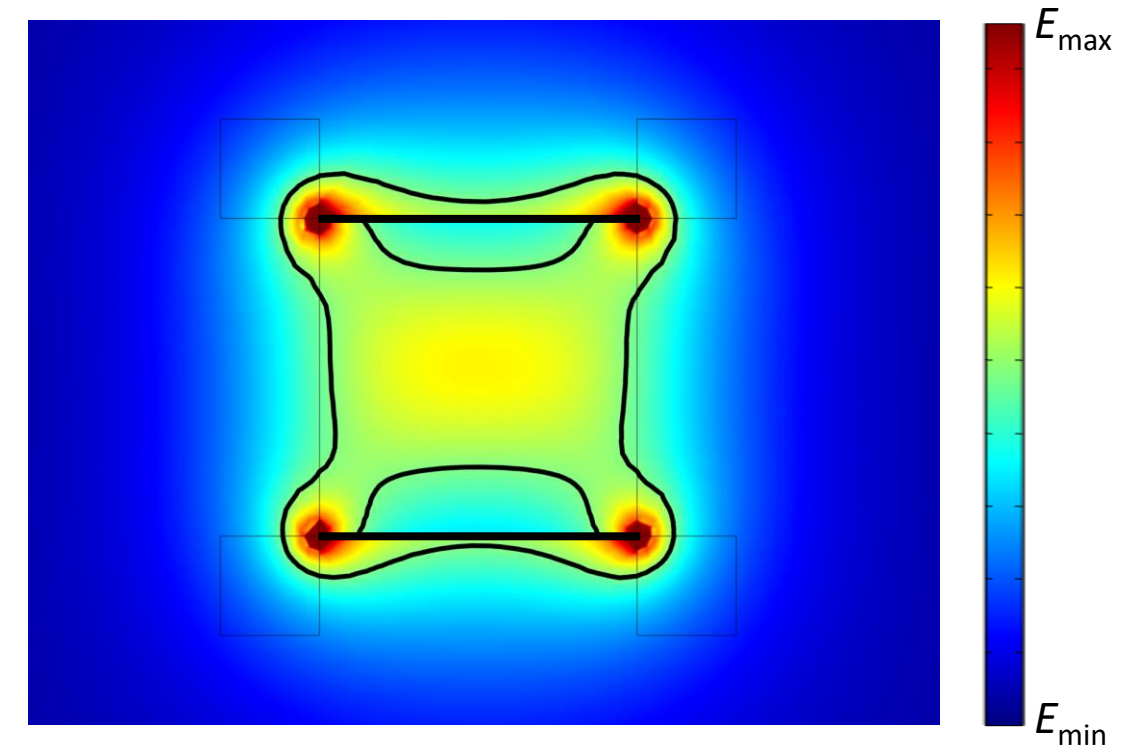


K ionizaci dochází na ECR ploše

Rozložení magnetické indukce



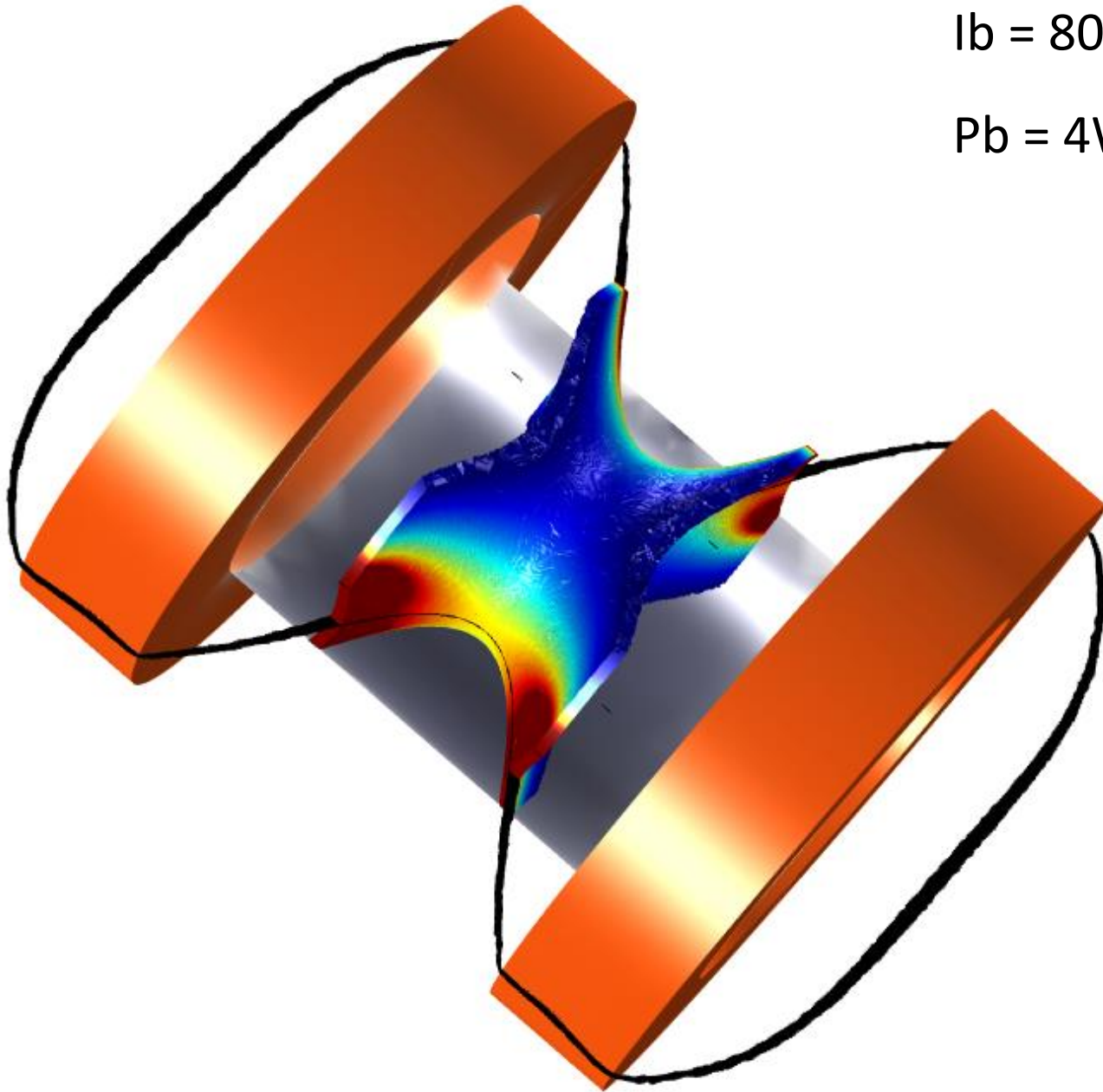
Rozložení intenzity elektrického pole



K ionizaci dochází na ECR ploše

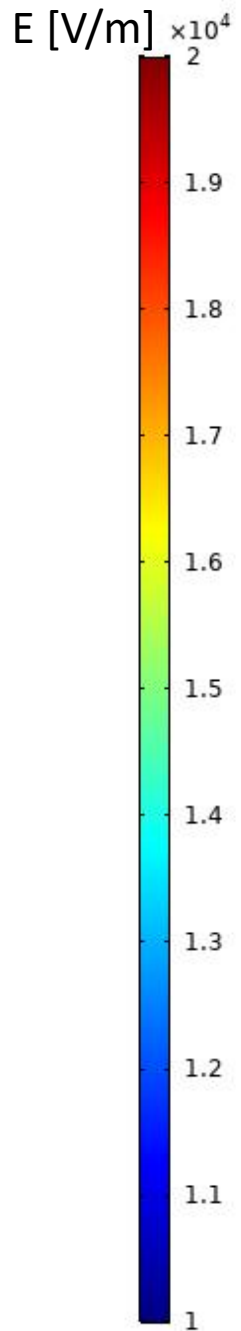
K ionizaci dochází pokud $E > 10 \text{ kV/m}$

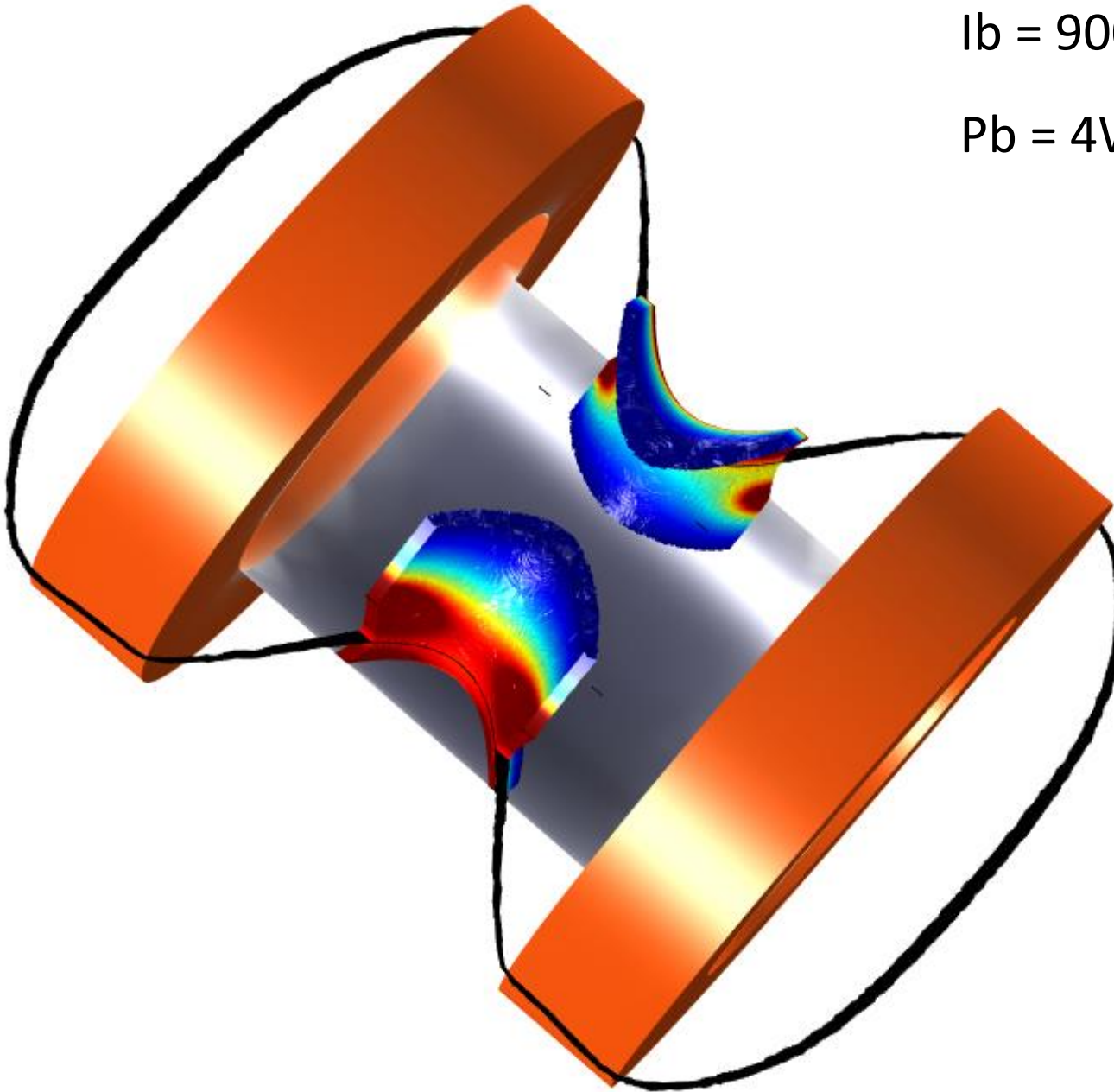
Výsledky numerické analýzy



$I_b = 800A_z$

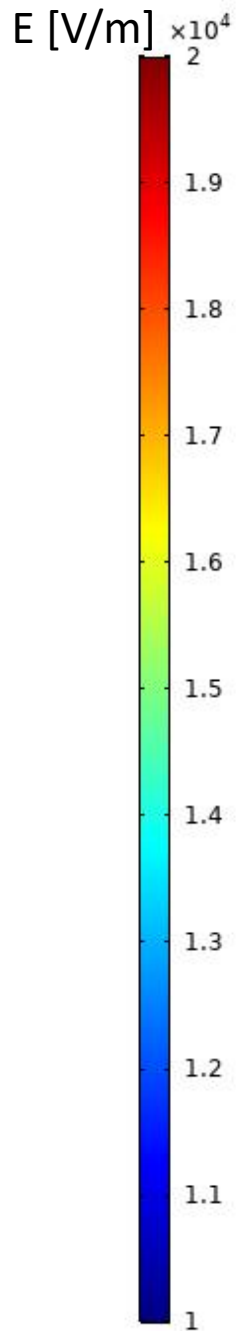
$P_b = 4W$

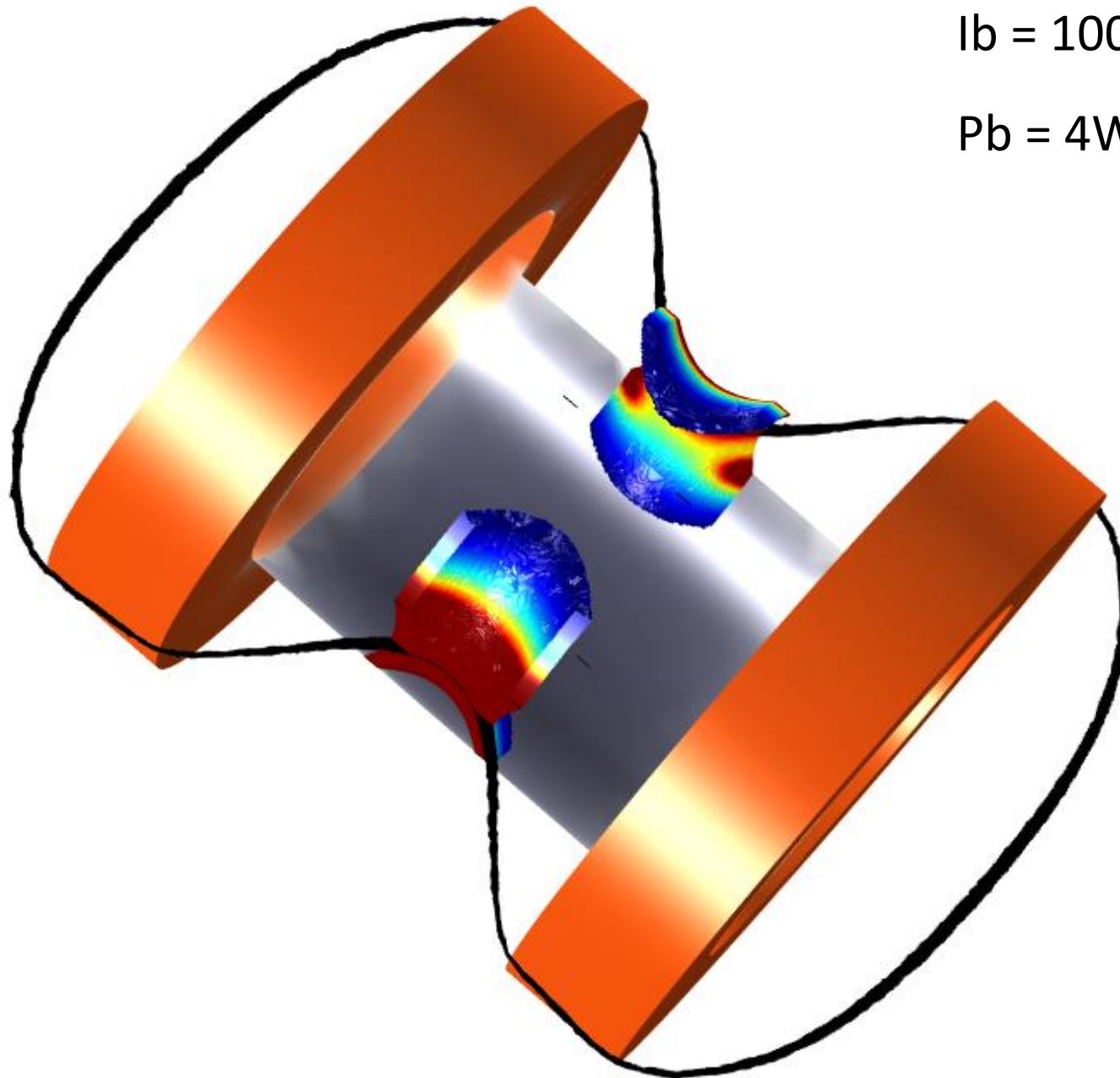




$I_b = 900A_z$

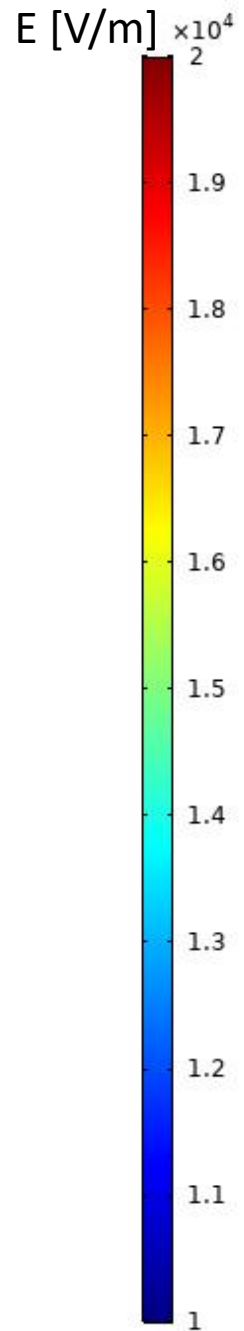
$P_b = 4W$

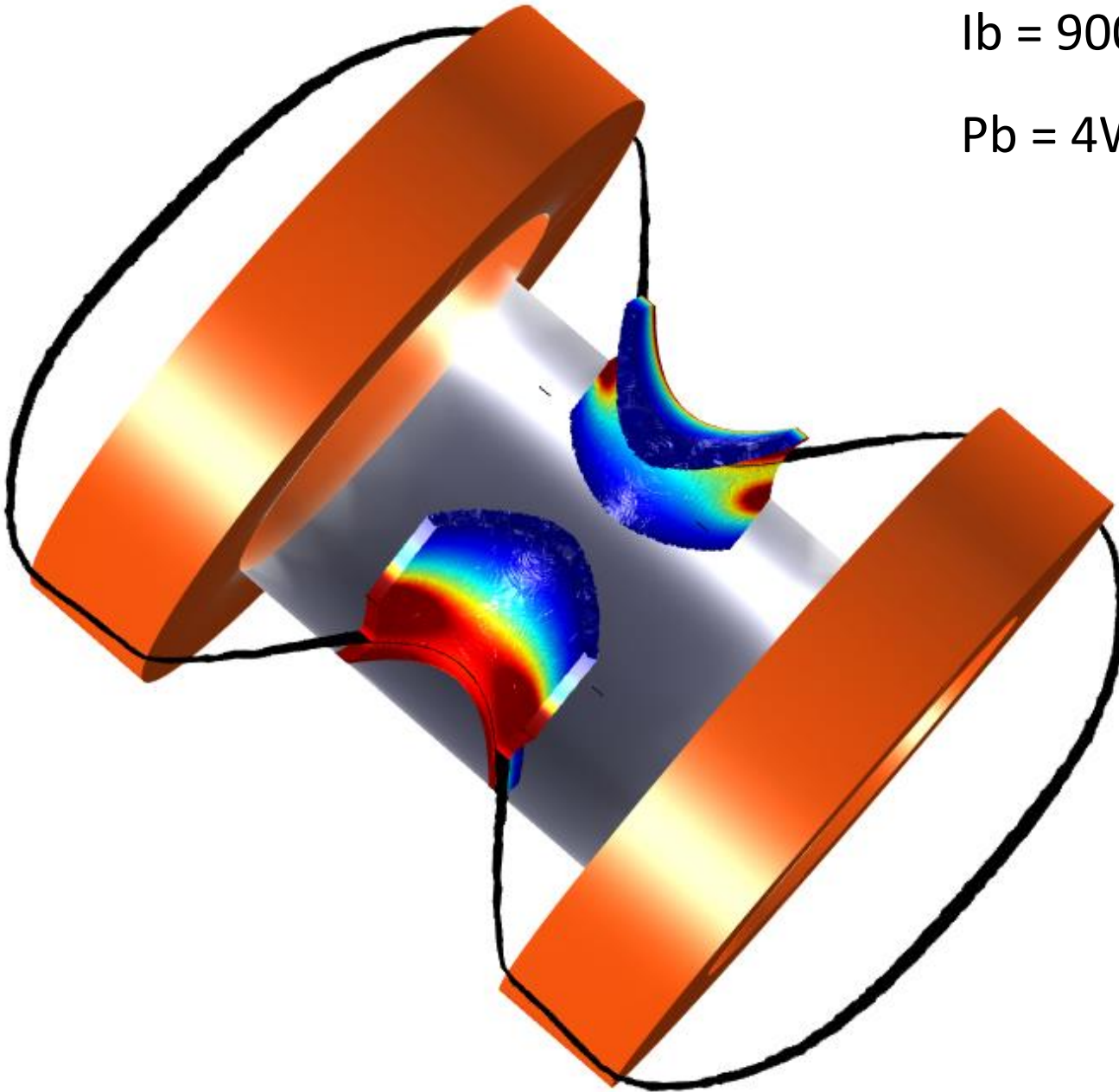




$I_b = 1000A_z$

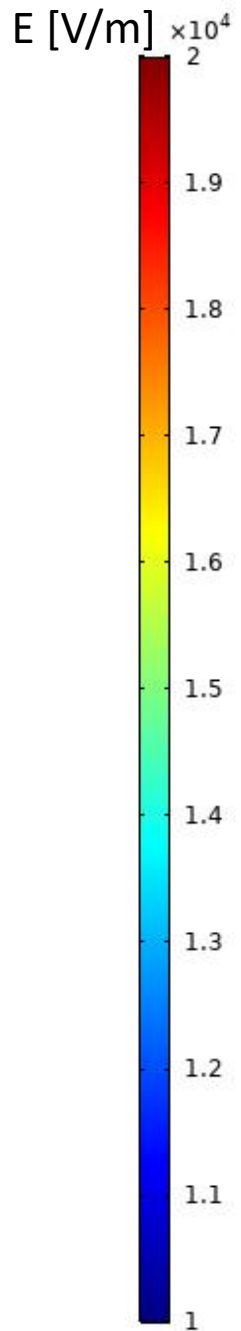
$P_b = 4W$

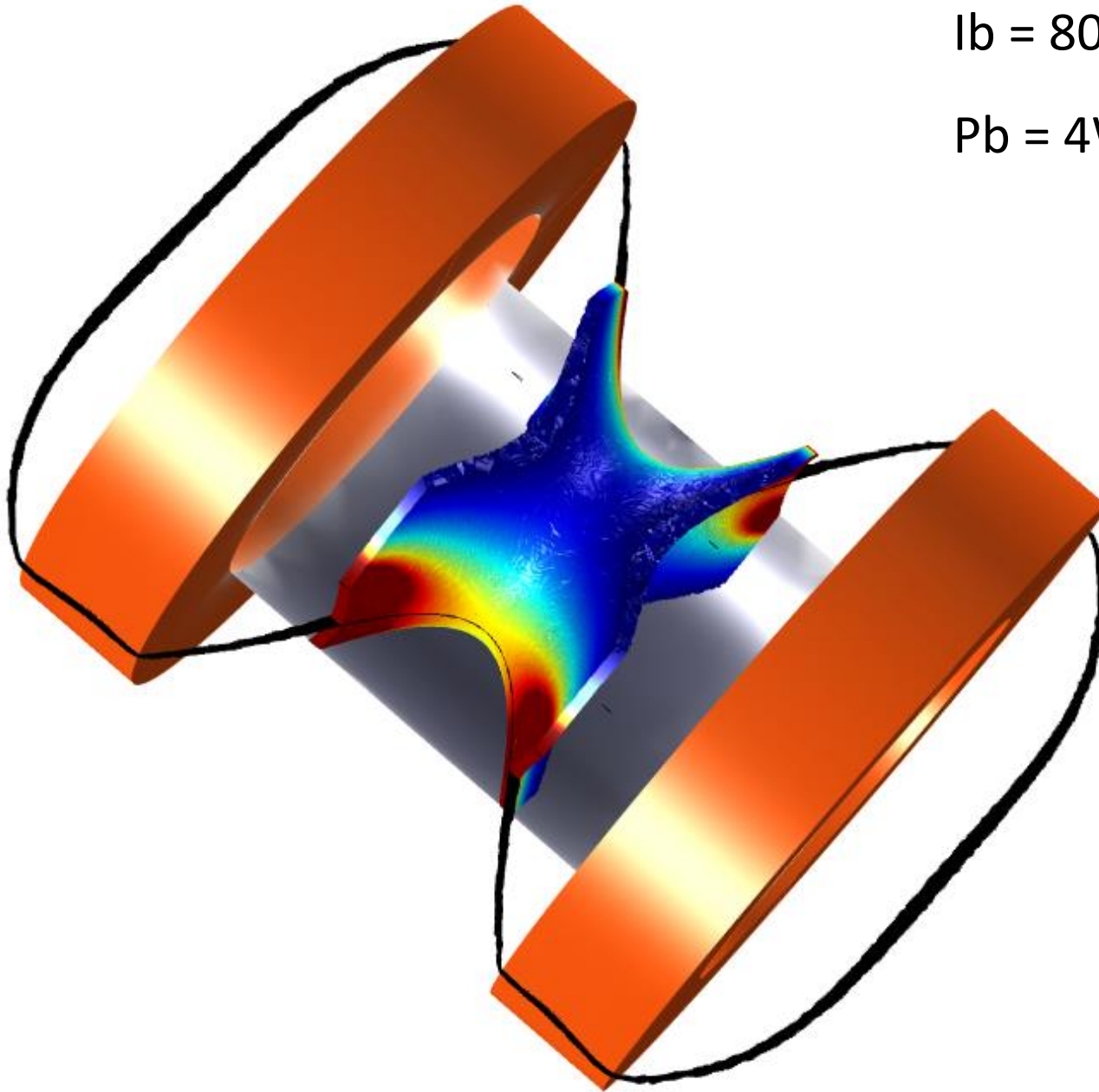




$I_b = 900A_z$

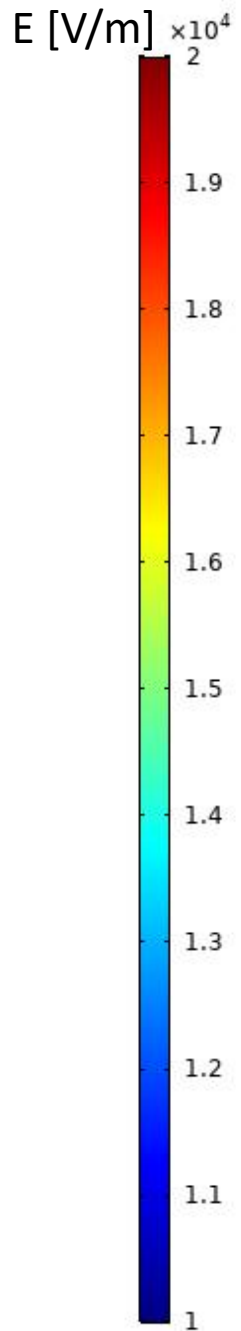
$P_b = 4W$

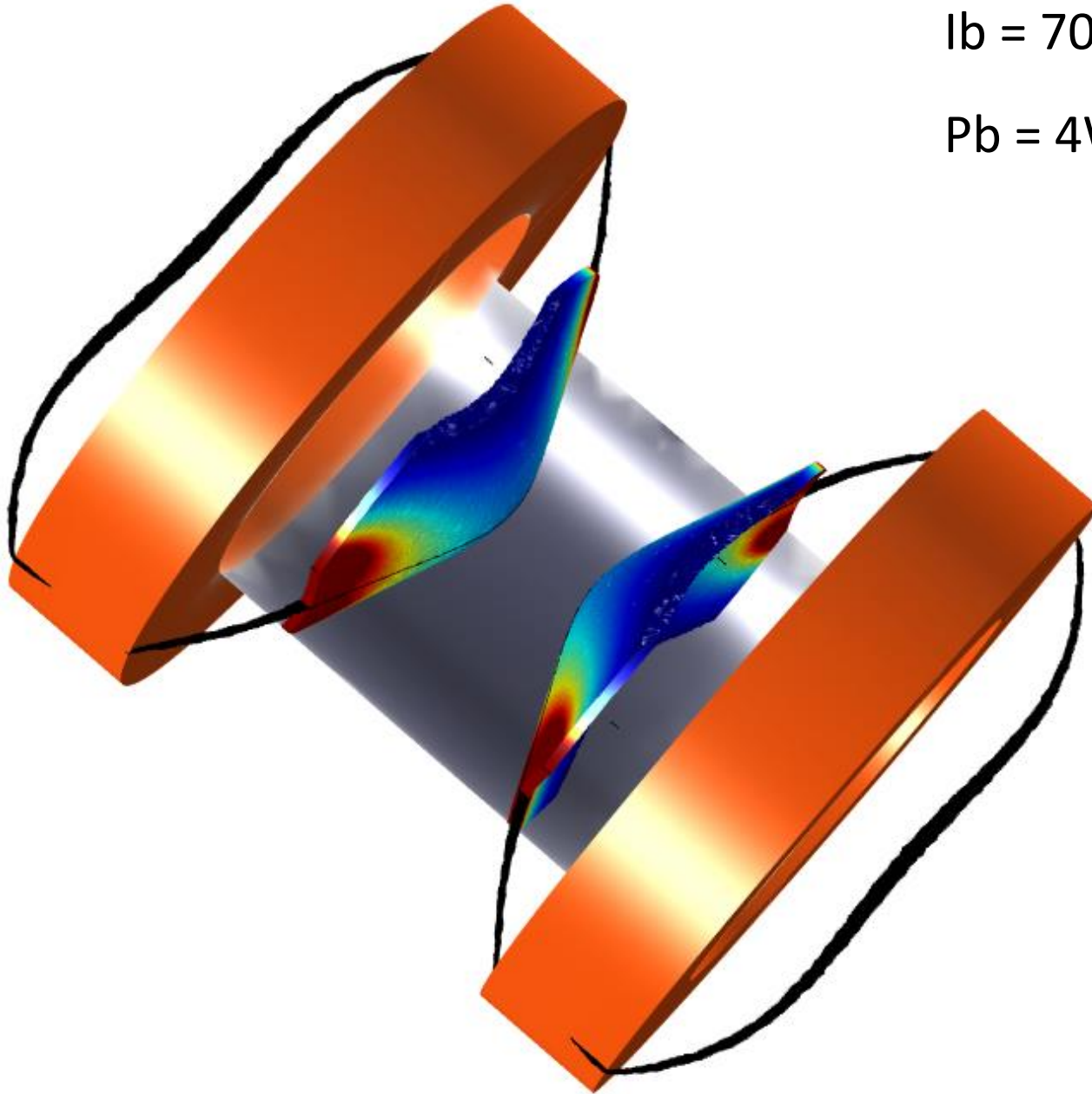




$I_b = 800A_z$

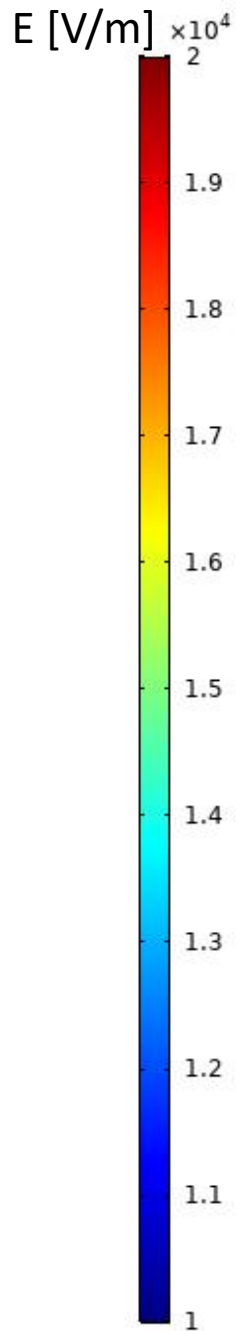
$P_b = 4W$

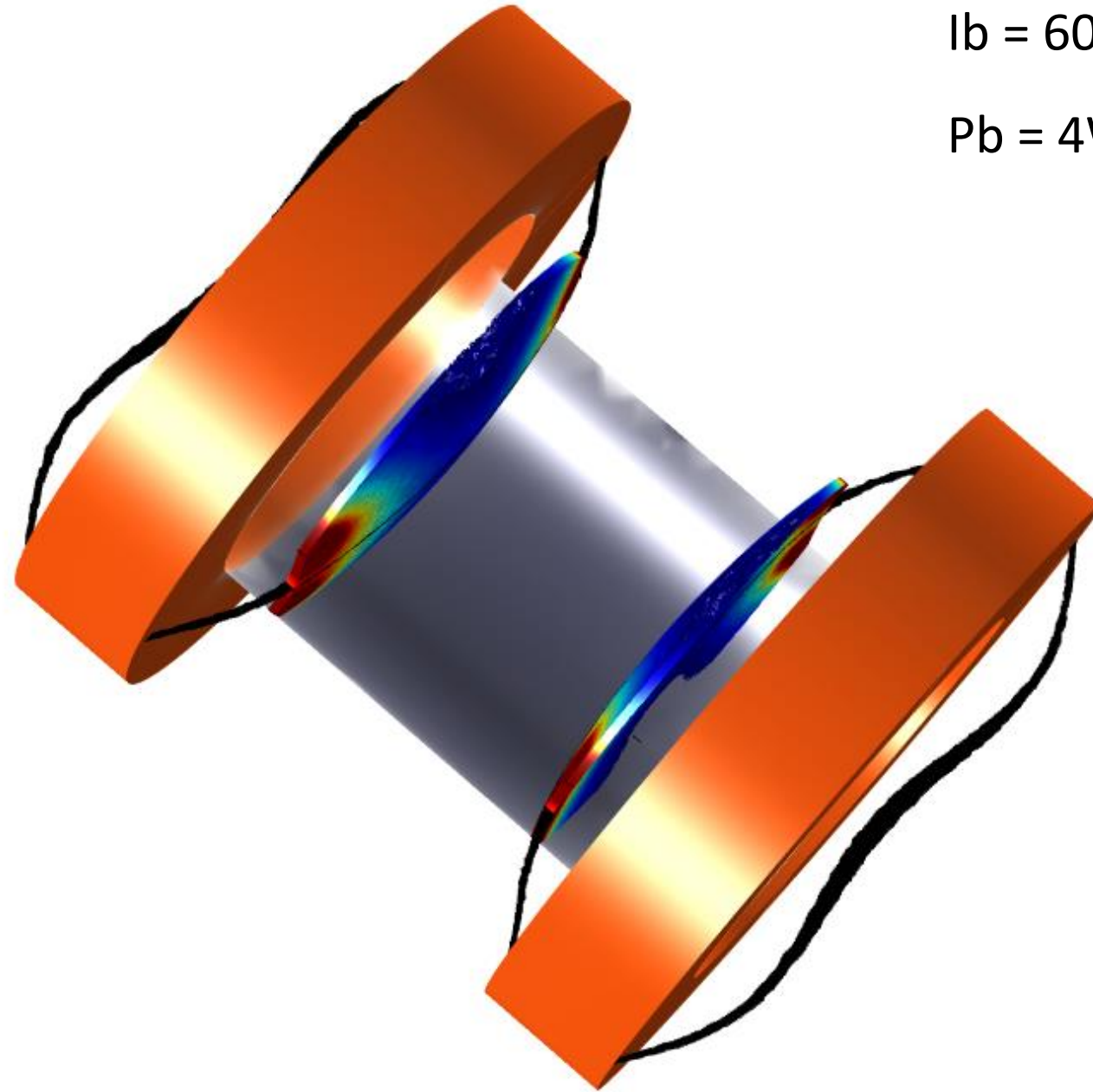




$I_b = 700\text{A}_z$

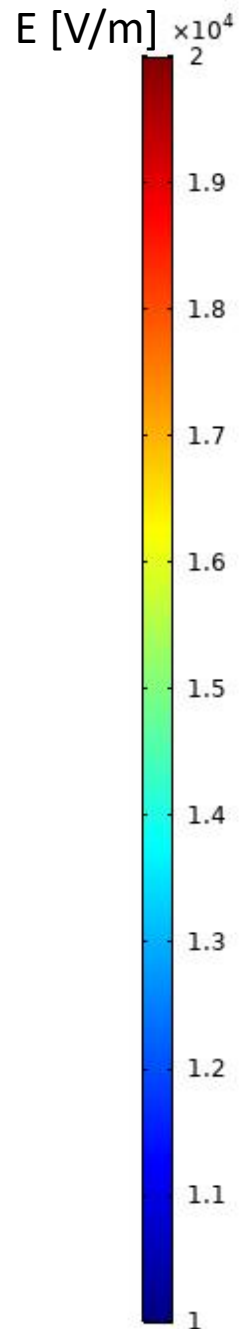
$P_b = 4\text{W}$

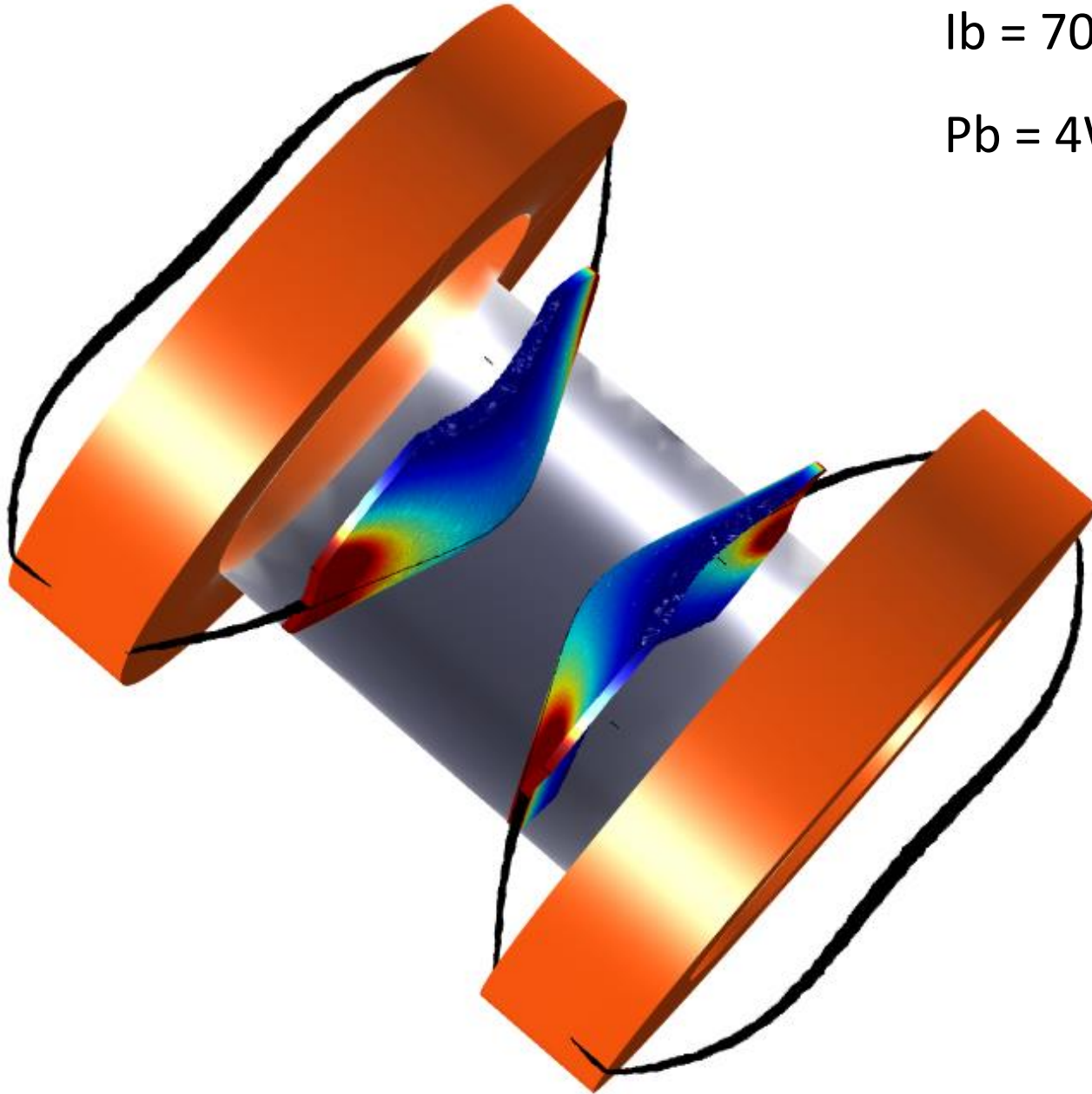




$I_b = 600\text{A}_z$

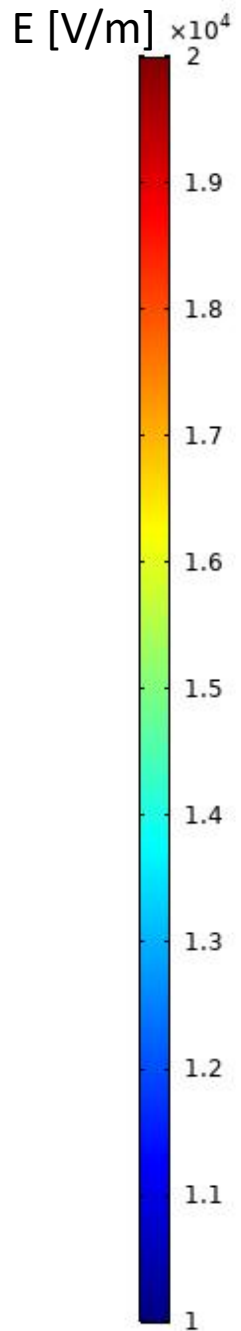
$P_b = 4\text{W}$

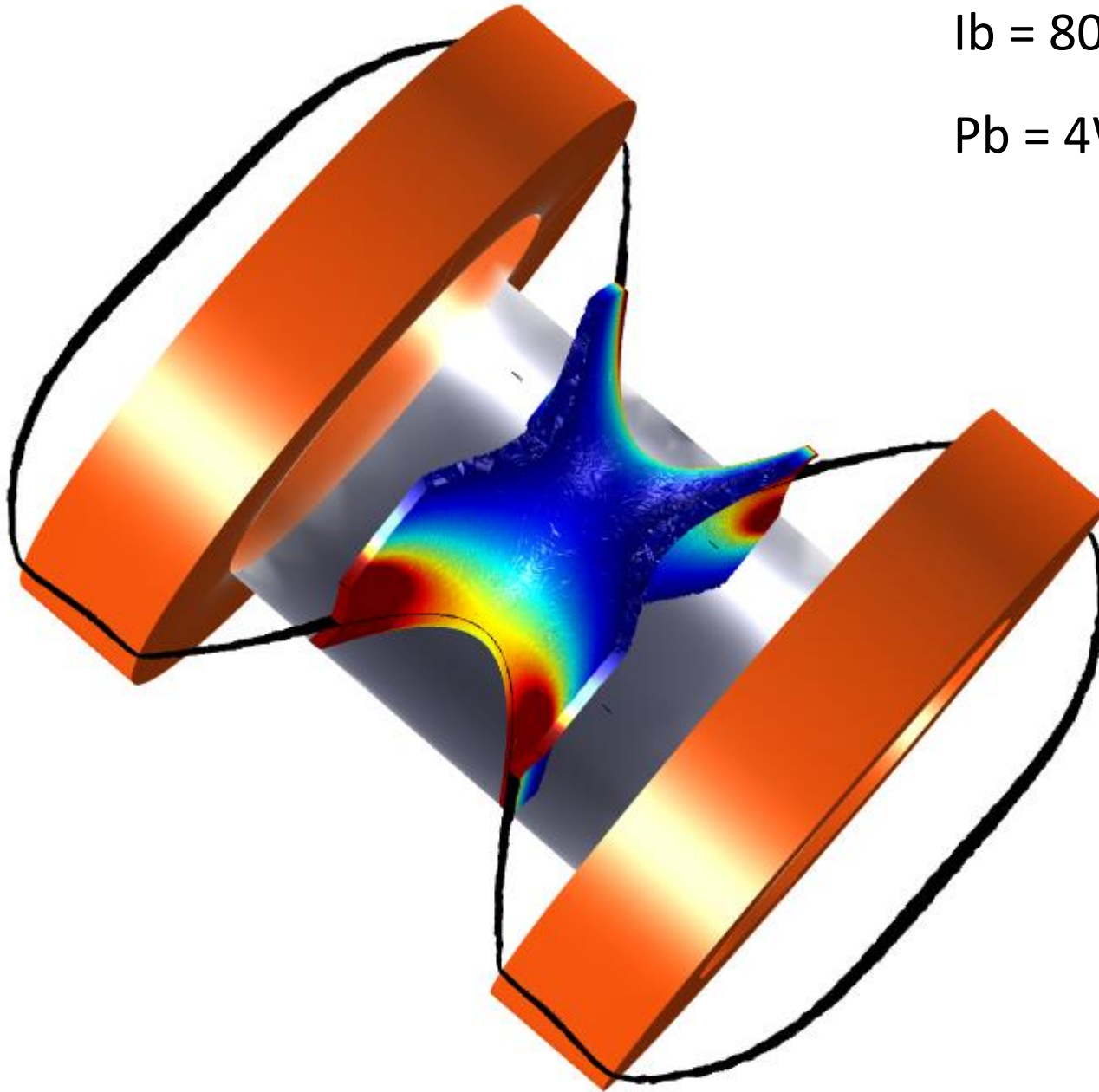




$I_b = 700\text{A}_z$

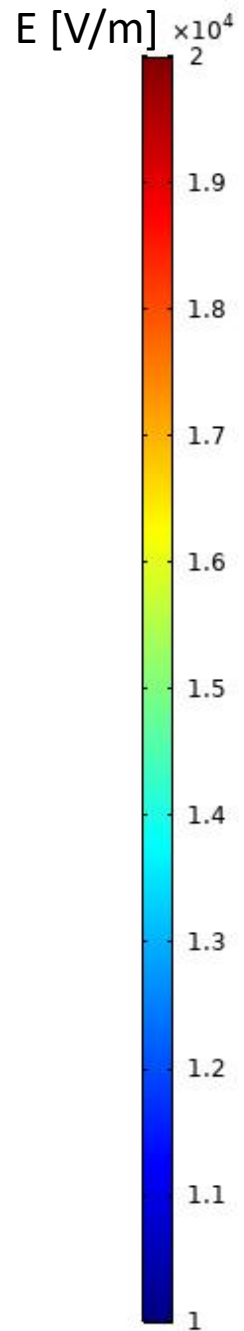
$P_b = 4\text{W}$

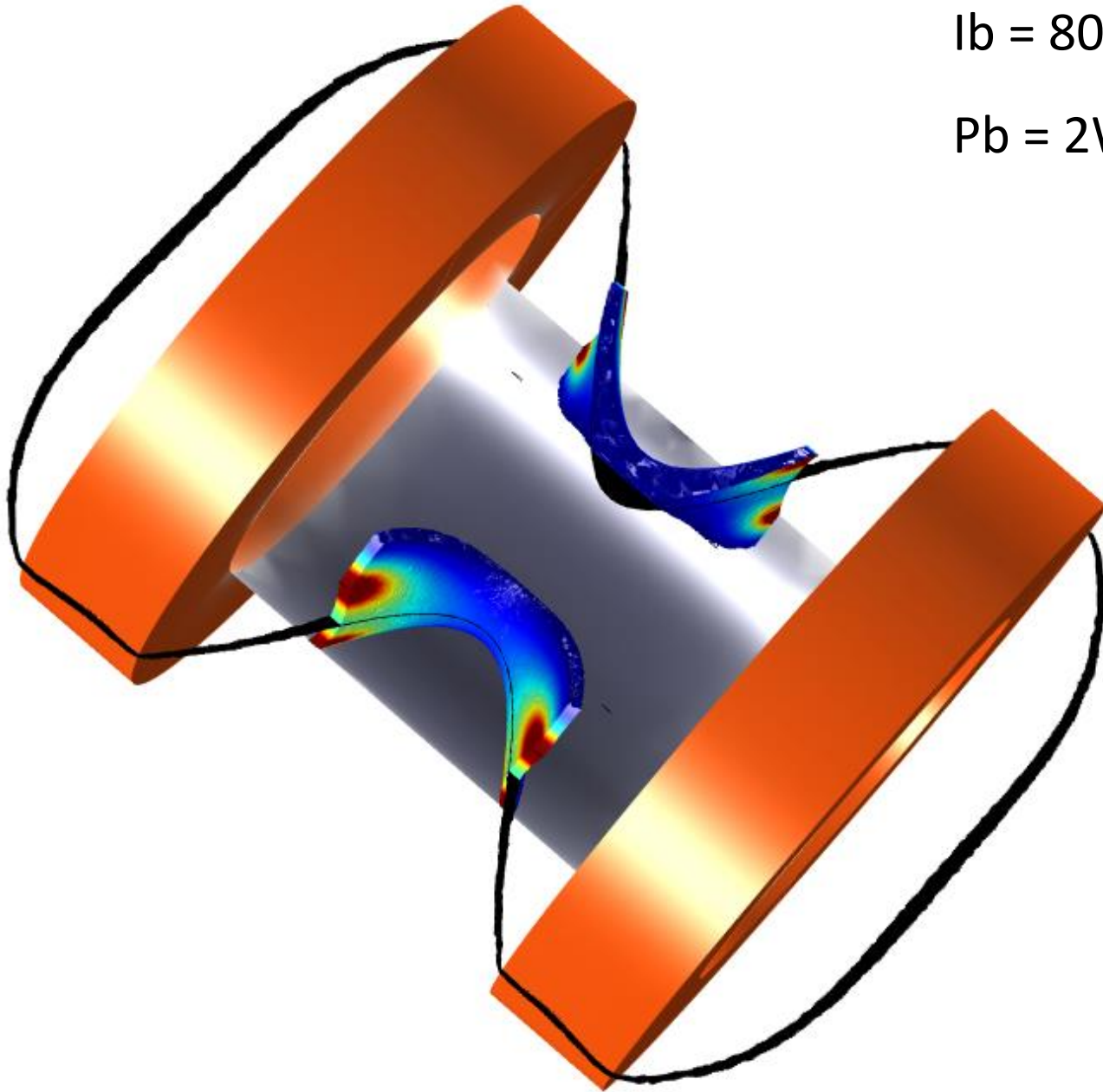




$I_b = 800A_z$

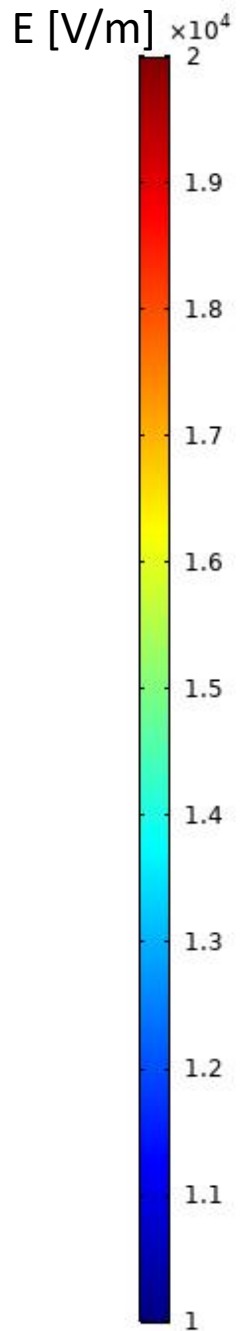
$P_b = 4W$

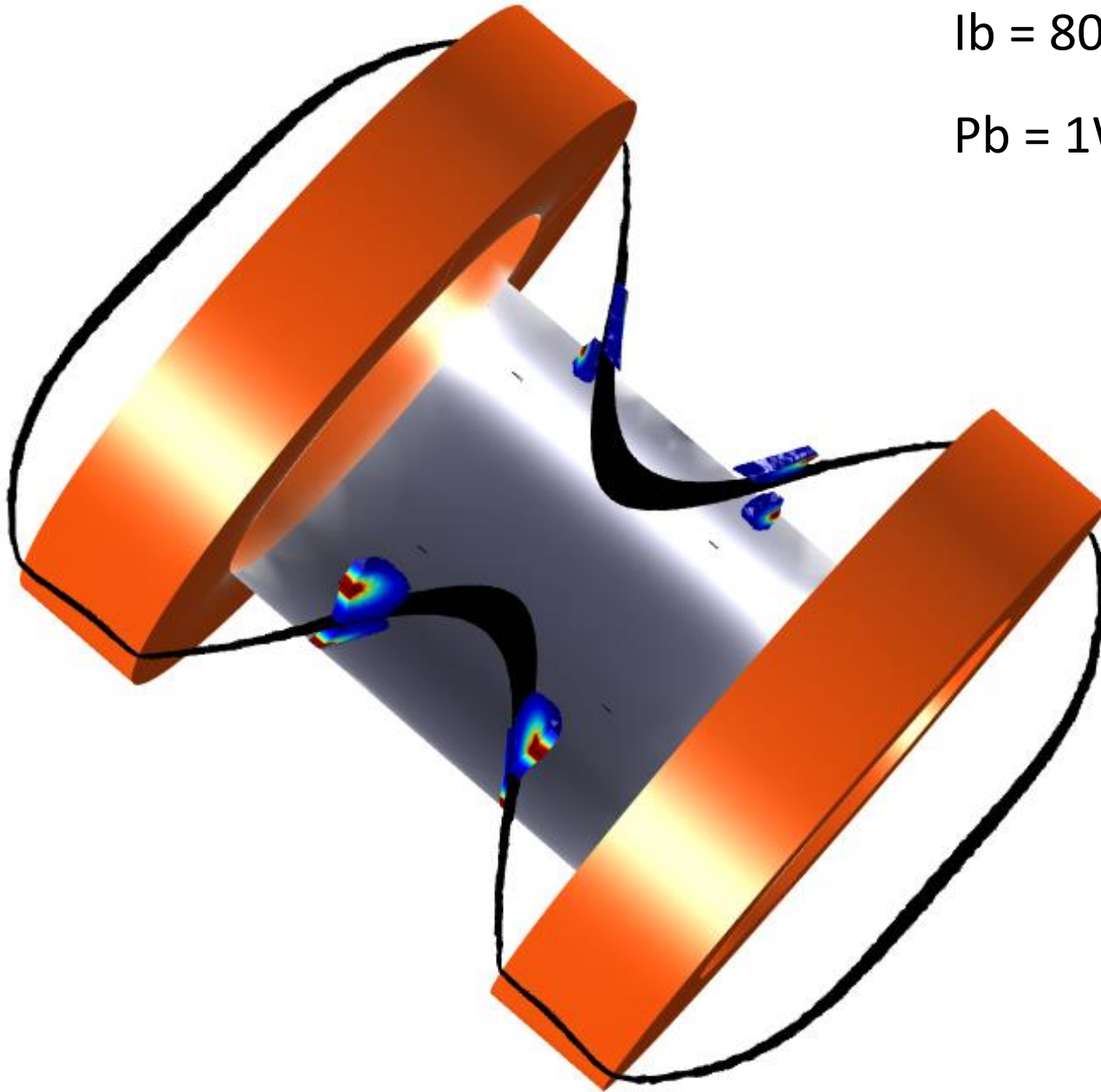




$I_b = 800A_z$

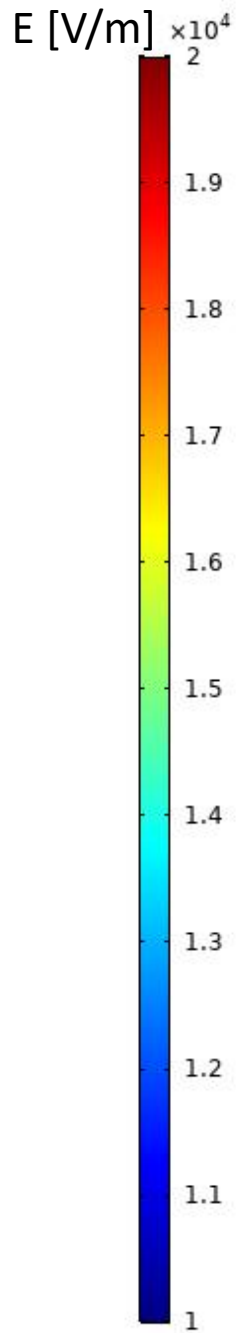
$P_b = 2W$

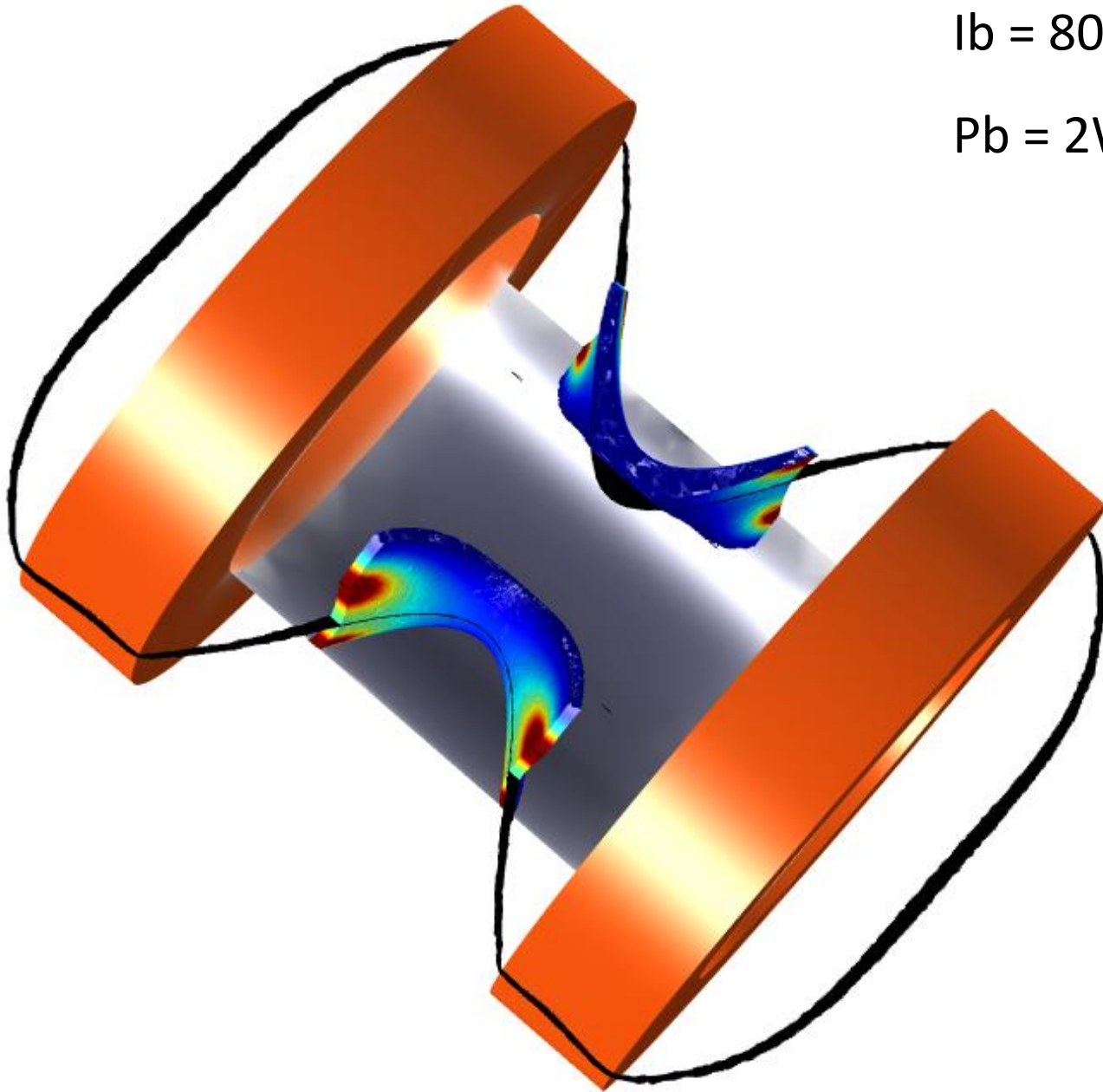




$I_b = 800A_z$

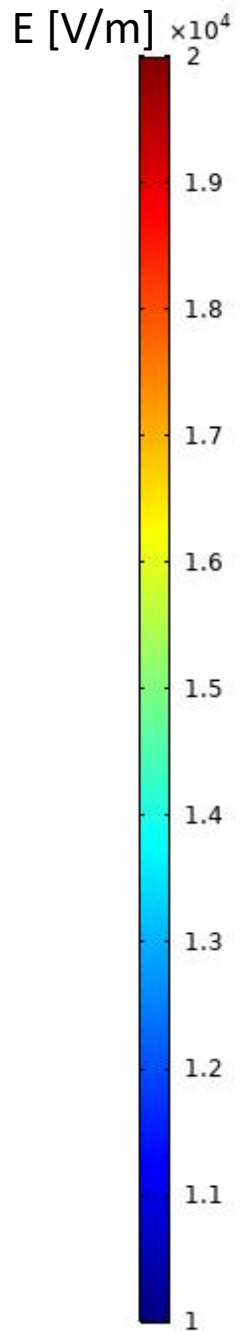
$P_b = 1W$

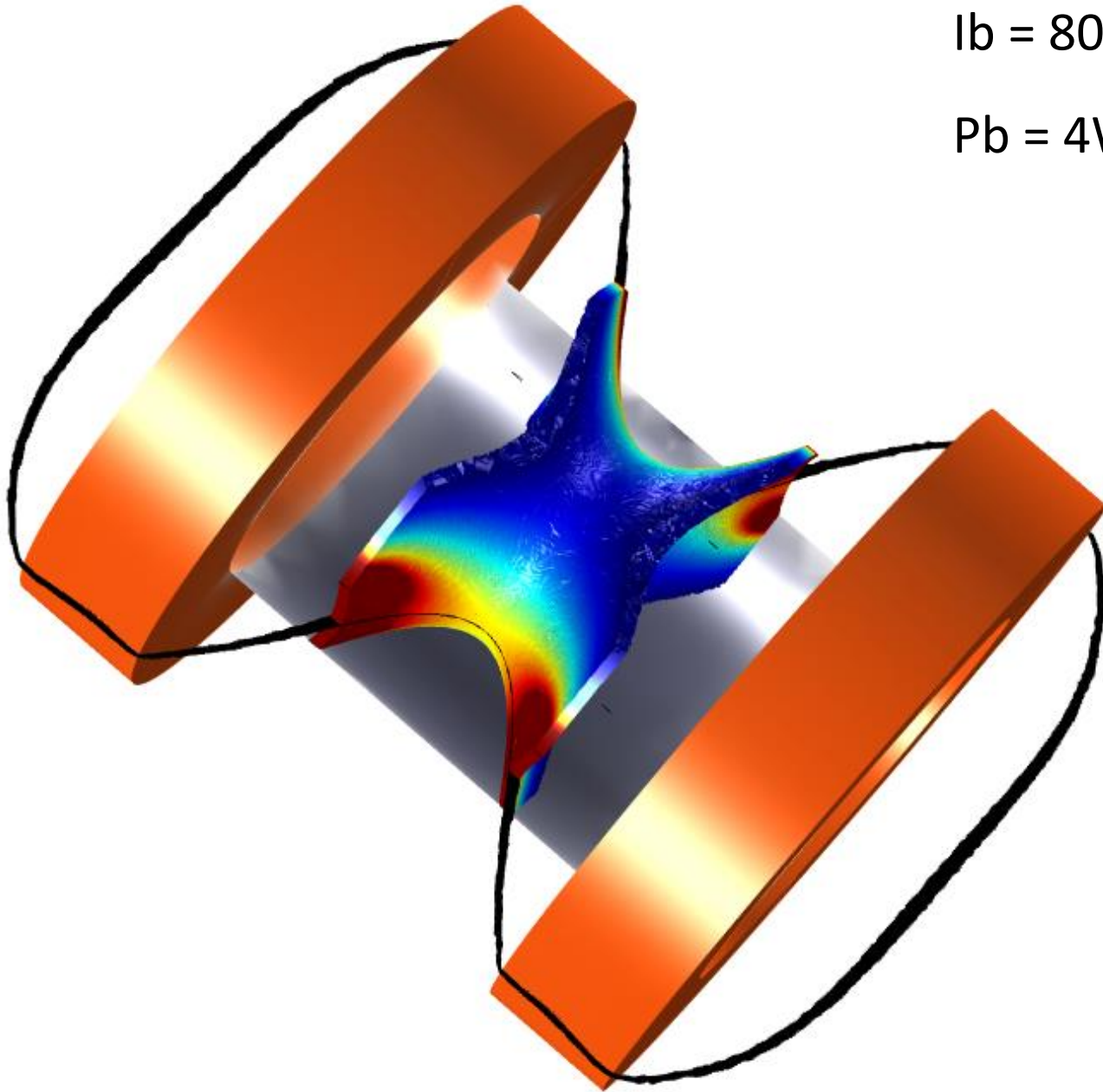




$I_b = 800A_z$

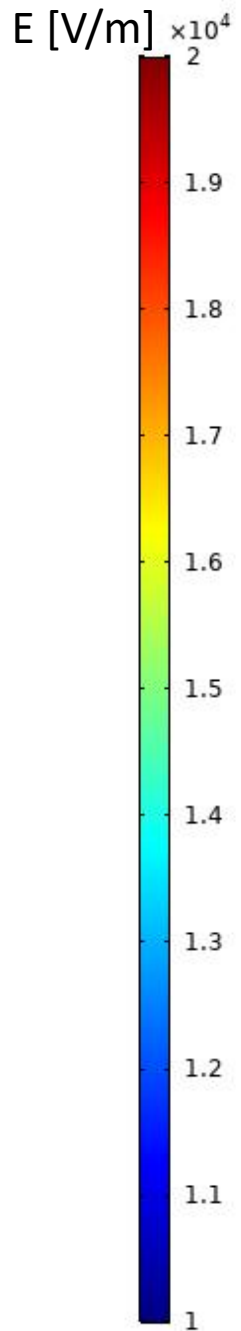
$P_b = 2W$

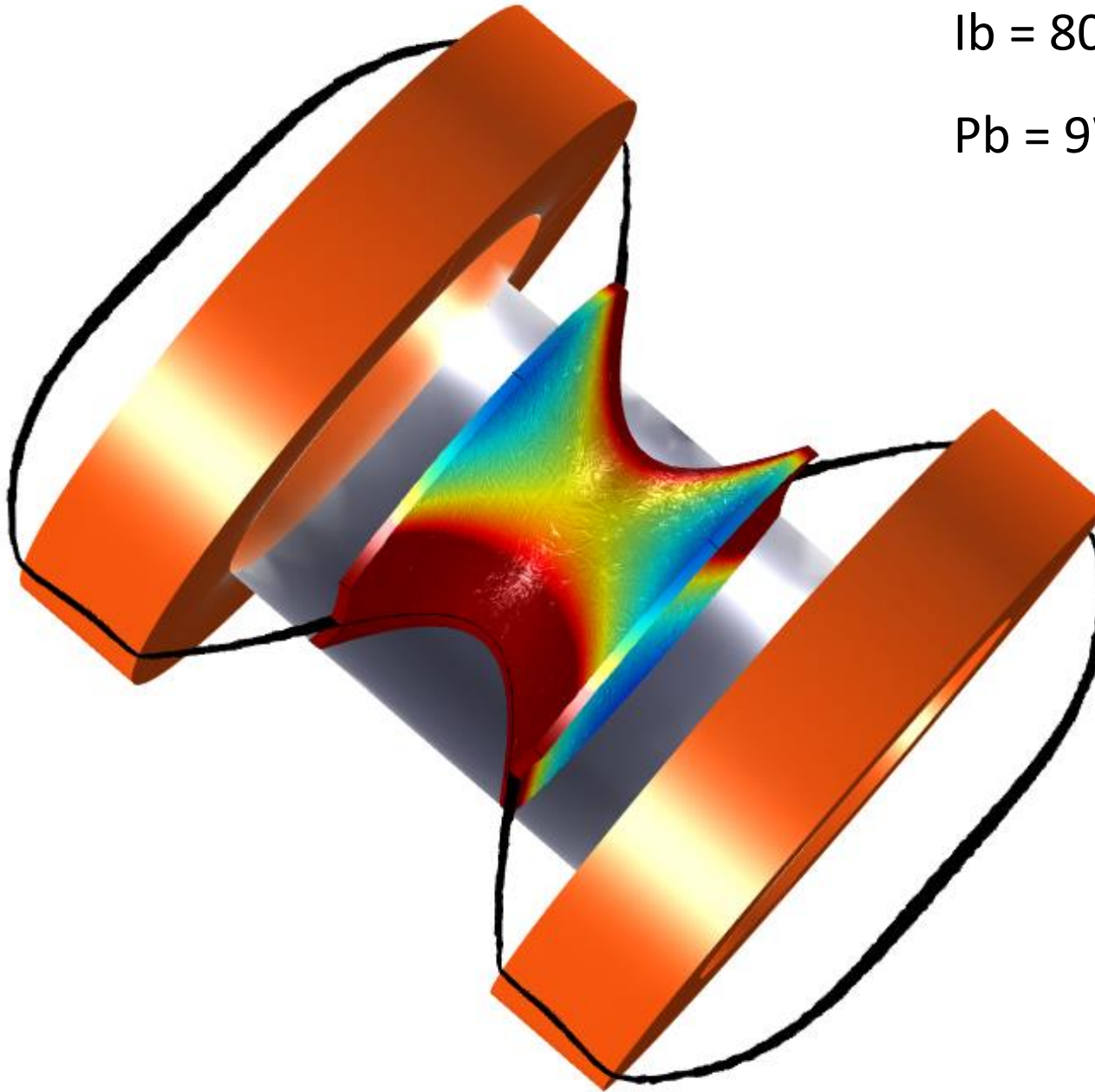




$I_b = 800A_z$

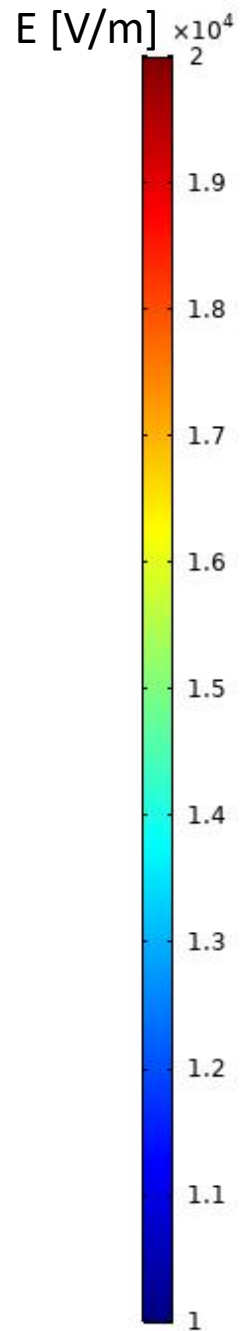
$P_b = 4W$



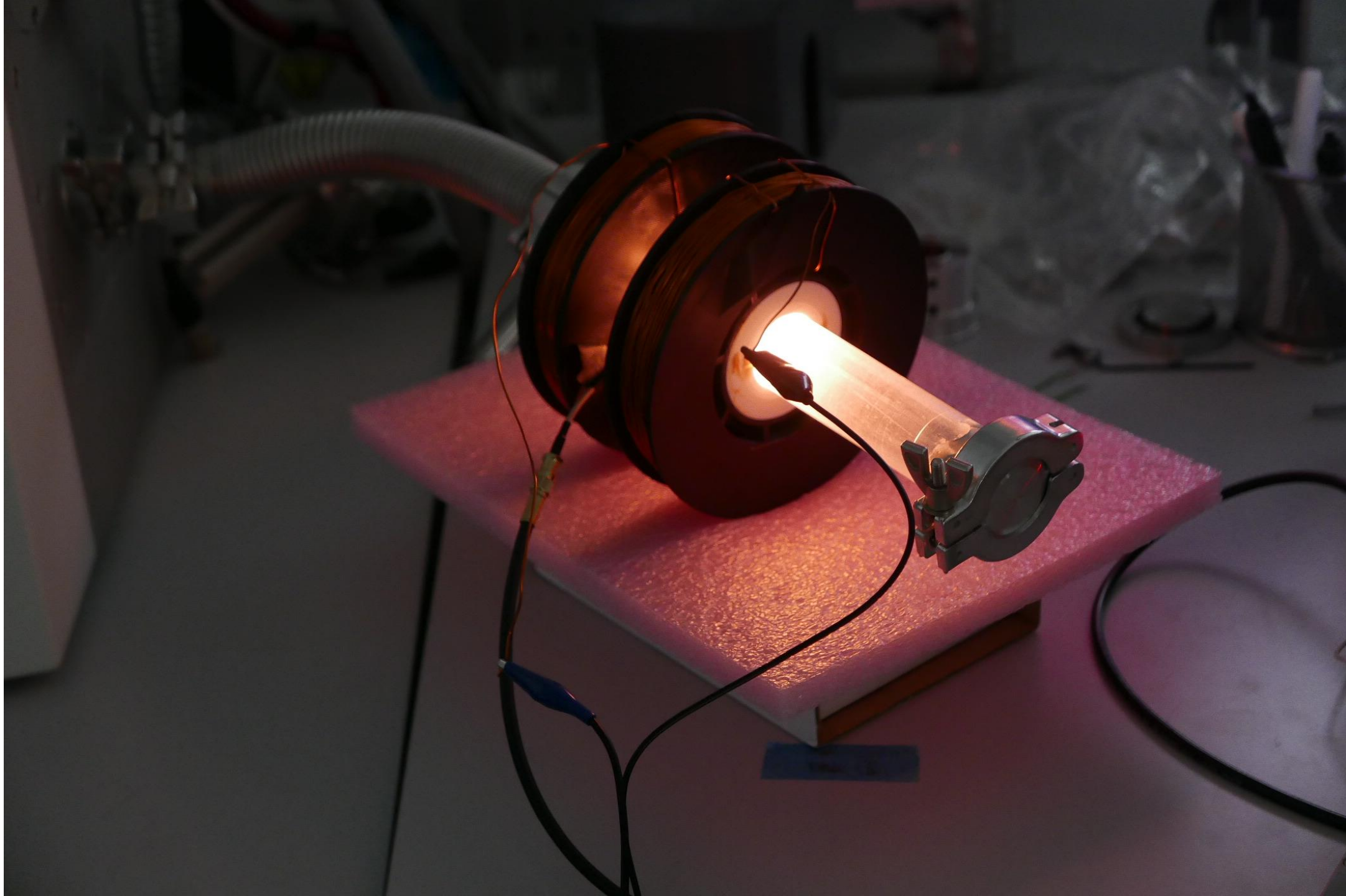


$I_b = 800A_z$

$P_b = 9W$



Ukázka experimentu





Děkuji za pozornost